

# NP-Vollständigkeit von Hamiltonian Cycles

## durch Reduktion von Vertex Cover

Stefan Walter

Universität Leipzig  
10-202-2112, Complexity Theory

16. Dezember 2019

# Literatur

Michael R. Garey und David S. Johnson. *Computers and Intractability; A Guide to the Theory of NP-Completeness*. New York, NY, USA: W. H. Freeman & Co., 1990. ISBN: 0716710455, Chapter 3.1.4, p. 56 to 60

## VERTEX COVER (Knotenüberdeckung)

**Eingabe:** Ein Graph  $G = (V, E)$  und  $K \in \mathbb{N}_+$  mit  $K \leq |V|$ .

**Ausgabe:** Existiert ein **Vertex Cover** der Größe maximal  $K$  für  $G$ ?

D. h. eine Menge  $V' \subseteq V$  mit

- $|V'| \leq K$
- $\forall \{u, v\} \in E : u \in V' \vee v \in V'$

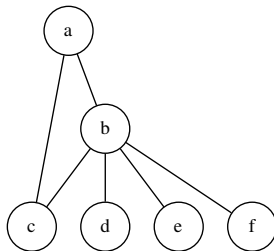
## VERTEX COVER (Knotenüberdeckung)

**Eingabe:** Ein Graph  $G = (V, E)$  und  $K \in \mathbb{N}_+$  mit  $K \leq |V|$ .

**Ausgabe:** Existiert ein **Vertex Cover** der Größe maximal  $K$  für  $G$ ?

D. h. eine Menge  $V' \subseteq V$  mit

- $|V'| \leq K$
- $\forall \{u, v\} \in E : u \in V' \vee v \in V'$



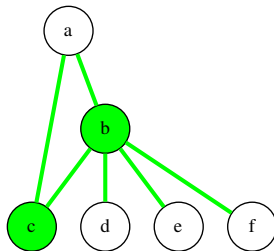
## VERTEX COVER (Knotenüberdeckung)

**Eingabe:** Ein Graph  $G = (V, E)$  und  $K \in \mathbb{N}_+$  mit  $K \leq |V|$ .

**Ausgabe:** Existiert ein **Vertex Cover** der Größe maximal  $K$  für  $G$ ?

D. h. eine Menge  $V' \subseteq V$  mit

- $|V'| \leq K$
- $\forall \{u, v\} \in E : u \in V' \vee v \in V'$



## HAMILTONIAN CYCLE (Hamiltonkreis)

**Eingabe:** Ein Graph  $G = (V, E)$

**Ausgabe:** Enthält  $G$  einen **Hamiltonian Cycle**?

D. h. eine Knoten-Folge  $(v_1, v_2, \dots, v_n)$  mit

- $n = |V|$
- $\forall i \in \mathbb{N}, 1 \leq i < n : \{v_i, v_{i+1}\} \in E$  und  $\{v_n, v_1\} \in E$

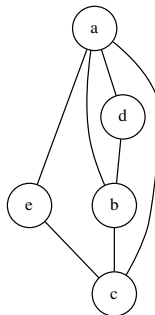
## HAMILTONIAN CYCLE (Hamiltonkreis)

**Eingabe:** Ein Graph  $G = (V, E)$

**Ausgabe:** Enthält  $G$  einen **Hamiltonian Cycle**?

D. h. eine Knoten-Folge  $(v_1, v_2, \dots, v_n)$  mit

- $n = |V|$
- $\forall i \in \mathbb{N}, 1 \leq i < n : \{v_i, v_{i+1}\} \in E$  und  $\{v_n, v_1\} \in E$



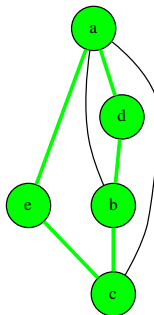
## HAMILTONIAN CYCLE (Hamiltonkreis)

**Eingabe:** Ein Graph  $G = (V, E)$

**Ausgabe:** Enthält  $G$  einen **Hamiltonian Cycle**?

D. h. eine Knoten-Folge  $(v_1, v_2, \dots, v_n)$  mit

- $n = |V|$
- $\forall i \in \mathbb{N}, 1 \leq i < n : \{v_i, v_{i+1}\} \in E$  und  $\{v_n, v_1\} \in E$





# Vorgehen beim Zeigen von NP-Vollständigkeit

## Vorgehen

- $\text{HAMILTONIAN CYCLE} \in NP$
- $\text{HAMILTONIAN CYCLE}$  ist NP-schwer:  
 $\forall L' \in NP : L' \preceq_L \text{HAMILTONIAN CYCLE}$

Notizen:

- hier mit  $\text{VERTEX COVER} \preceq_L \text{HAMILTONIAN CYCLE}$
- Annahme:  $\text{VERTEX COVER}$  ist NP-vollständig

# Beweisidee

## Beweisidee.

HAMILTONIAN CYCLE  $\in NP$ :

- rate Knotenfolge  $(v_1, v_2, \dots, v_n) \in V^{|V|}$  nichtdeterministisch
- teste, ob Folge die Bedingung erfüllt  
 $\Rightarrow$  polynomiell

# Reduktion

NP-schwer: VERTEX COVER  $\preceq_L$  HAMILTONIAN CYCLE

**Eingabe:** Graph  $G = (V, E)$  und  $K \in \mathbb{N}_+, K \leq |V|$

**Ausgabe:** Graph  $G' = (V', E')$ , sodass

$$(G, K) \in \text{VERTEX COVER} \iff G' \in \text{HAMILTONIAN CYCLE}$$

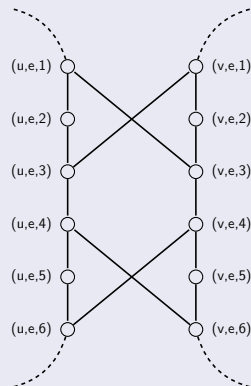
# Konstruktions-Idee

- $K$  „Selektor“-Knoten  $a_1, a_2, \dots, a_K$
- $|E|$  „Cover-Testing“-Komponenten  
(abgekürzt CTK)

# Konstruktions-Idee

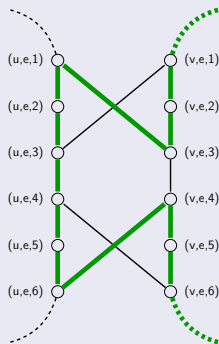
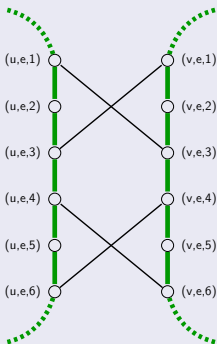
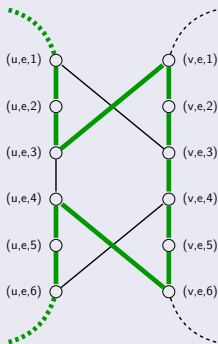
- $K$  „Selektor“-Knoten  $a_1, a_2, \dots, a_K$
- $|E|$  „Cover-Testing“-Komponenten (abgekürzt CTK)

z. B. für  $e = \{u, v\} \in E$



# Konstruktions-Idee

Pfade durch Cover-Testing-Komponente bei Hamiltonkreis in  $G'$ :



# Vollständige Reduktions-Konstruktion

$G' = (V', E')$  mit

$$V' = \underbrace{\{a_i \mid 1 \leq i \leq K\}}_{\text{Selektor}} \cup \underbrace{\left( \bigcup_{e \in E} V'_e \right)}_{\text{Cover-Testing}}$$

$$E' = \underbrace{\left( \bigcup_{e \in E} E'_e \right)}_{\text{Cover-Testing}} \cup \left( \bigcup_{v \in V} E'_v \right) \cup E''$$

# Vollständige Reduktions-Konstruktion

(für  $e = \{u, v\} \in E$ )

$$V'_e = \{(u, e, i), (v, e, i) \mid 1 \leq i \leq 6\}$$

$$\begin{aligned} E'_e = & \left\{ \{(u, e, i), (u, e, i+1)\}, \{(v, e, i), (v, e, i+1)\} \mid 1 \leq i \leq 5 \right\} \\ & \cup \left\{ \{(u, e, 3), (v, e, 1)\}, \{(v, e, 3), (u, e, 1)\} \right\} \\ & \cup \left\{ \{(u, e, 6), (v, e, 4)\}, \{(v, e, 6), (u, e, 4)\} \right\} \end{aligned}$$

$$E'_v = \left\{ \{(v, e_{v[i]}, 6), (v, e_{v[i+1]}, 1)\} \mid 1 \leq i < \deg(v) \right\}$$

$$E'' = \left\{ \{a_i, (v, e_{v[1]}, 1)\}, \{a_i, (v, e_{v[\deg(v)]}, 6)\} \mid 1 \leq i \leq K, v \in V \right\}$$



# Konstruktion Beispiel $\in VC$

$$G = (V, E) = \left( \{a, b, c\}, \left\{ \{a, b\}, \{b, c\} \right\} \right) \quad K = 1$$



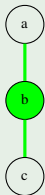
# Konstruktion Beispiel $\in VC$

$$G = (V, E) = \left( \{a, b, c\}, \left\{ \underbrace{\{a, b\}}_{e_1}, \underbrace{\{b, c\}}_{e_2} \right\} \right) \quad K = 1$$

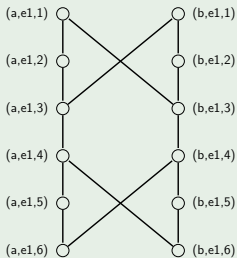


# Konstruktion Beispiel $\in VC$

$$G = (V, E) = \left( \{a, b, c\}, \left\{ \underbrace{\{a, b\}}_{e_1}, \underbrace{\{b, c\}}_{e_2} \right\} \right) \quad K = 1$$

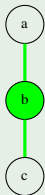


$V'_e, E'_e$

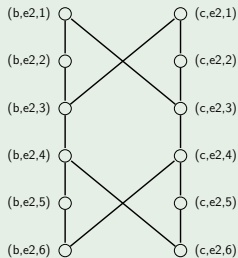
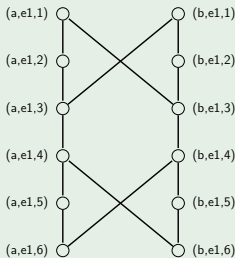


# Konstruktion Beispiel $\in VC$

$$G = (V, E) = \left( \{a, b, c\}, \left\{ \underbrace{\{a, b\}}_{e_1}, \underbrace{\{b, c\}}_{e_2} \right\} \right) \quad K = 1$$



$V'_e, E'_e$

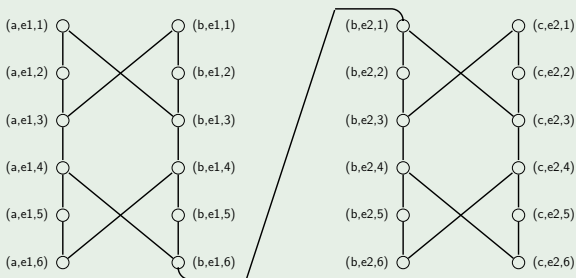


# Konstruktion Beispiel $\in VC$

$$G = (V, E) = \left( \{a, b, c\}, \left\{ \underbrace{\{a, b\}}_{e_1}, \underbrace{\{b, c\}}_{e_2} \right\} \right) \quad K = 1$$



$E'_v$

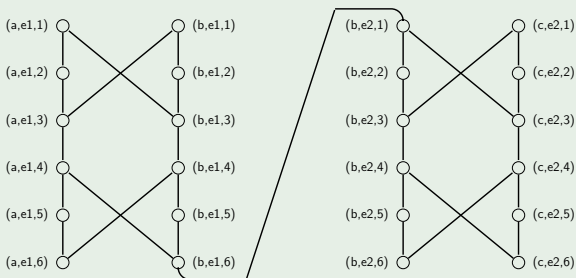


# Konstruktion Beispiel $\in VC$

$$G = (V, E) = \left( \{a, b, c\}, \left\{ \underbrace{\{a, b\}}_{e_1}, \underbrace{\{b, c\}}_{e_2} \right\} \right) \quad K = 1$$



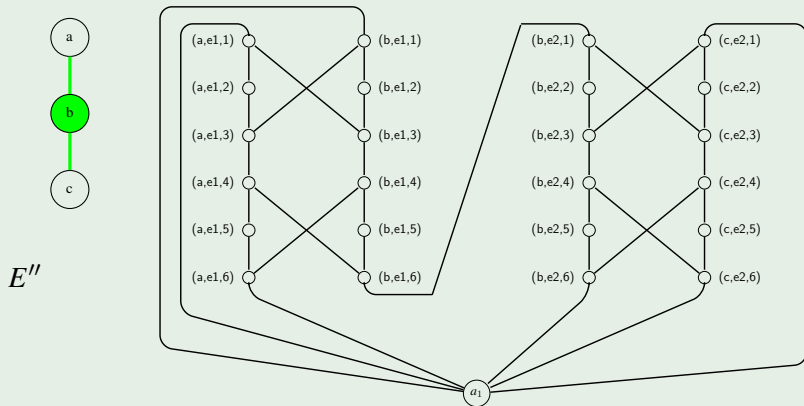
$a_i$



$a_1$

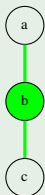
# Konstruktion Beispiel $\in VC$

$$G = (V, E) = \left( \{a, b, c\}, \left\{ \underbrace{\{a, b\}}_{e_1}, \underbrace{\{b, c\}}_{e_2} \right\} \right) \quad K = 1$$

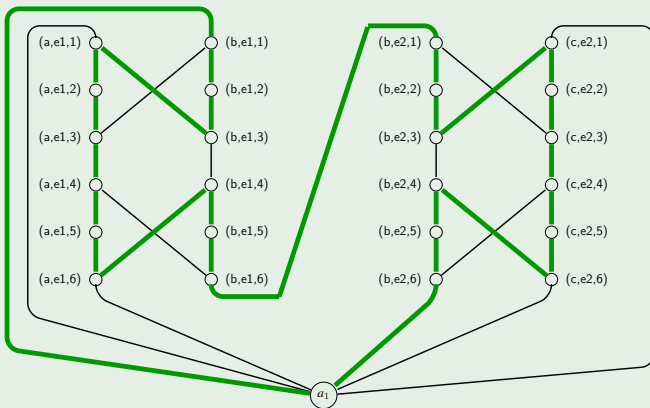


# Konstruktion Beispiel $\in VC$

$$G = (V, E) = \left( \{a, b, c\}, \left\{ \underbrace{\{a, b\}}_{e_1}, \underbrace{\{b, c\}}_{e_2} \right\} \right) \quad K = 1$$



$G' \in HC$





# Konstruktion Beispiel $\notin VC$

$$G = (V, E) = \left( \{a, b, c\}, \left\{ \{a, b\}, \{b, c\}, \{c, a\} \right\} \right) \quad K = 1$$



# Konstruktion Beispiel $\notin VC$

$$G = (V, E) = \left( \{a, b, c\}, \left\{ \underbrace{\{a, b\}}_{e_1}, \underbrace{\{b, c\}}_{e_2}, \underbrace{\{c, a\}}_{e_3} \right\} \right) \quad K = 1$$

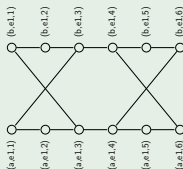


# Konstruktion Beispiel $\notin VC$

$$G = (V, E) = \left( \{a, b, c\}, \left\{ \underbrace{\{a, b\}}_{e_1}, \underbrace{\{b, c\}}_{e_2}, \underbrace{\{c, a\}}_{e_3} \right\} \right) \quad K = 1$$



$V'_e, E'_e$

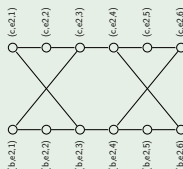
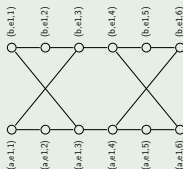


# Konstruktion Beispiel $\notin VC$

$$G = (V, E) = \left( \{a, b, c\}, \left\{ \underbrace{\{a, b\}}_{e_1}, \underbrace{\{b, c\}}_{e_2}, \underbrace{\{c, a\}}_{e_3} \right\} \right) \quad K = 1$$



$V'_e, E'_e$

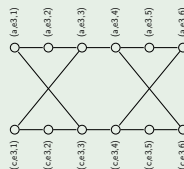
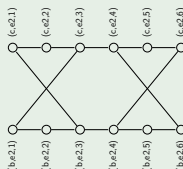
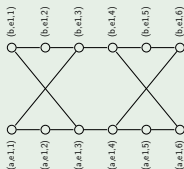


# Konstruktion Beispiel $\notin VC$

$$G = (V, E) = \left( \{a, b, c\}, \left\{ \underbrace{\{a, b\}}_{e_1}, \underbrace{\{b, c\}}_{e_2}, \underbrace{\{c, a\}}_{e_3} \right\} \right) \quad K = 1$$



$V'_e, E'_e$

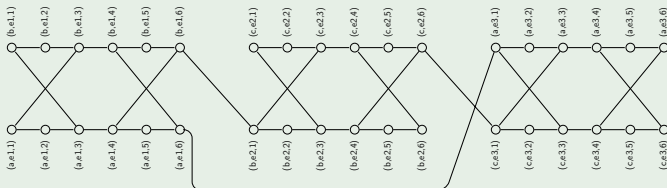


# Konstruktion Beispiel $\notin VC$

$$G = (V, E) = \left( \{a, b, c\}, \left\{ \underbrace{\{a, b\}}_{e_1}, \underbrace{\{b, c\}}_{e_2}, \underbrace{\{c, a\}}_{e_3} \right\} \right) \quad K = 1$$



$E'_v$

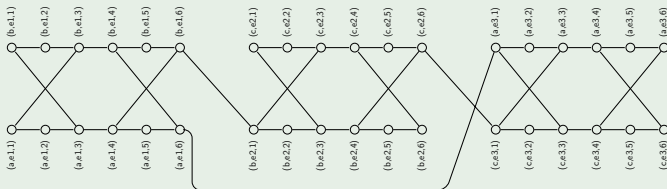


# Konstruktion Beispiel $\notin VC$

$$G = (V, E) = \left( \{a, b, c\}, \left\{ \underbrace{\{a, b\}}_{e_1}, \underbrace{\{b, c\}}_{e_2}, \underbrace{\{c, a\}}_{e_3} \right\} \right) \quad K = 1$$



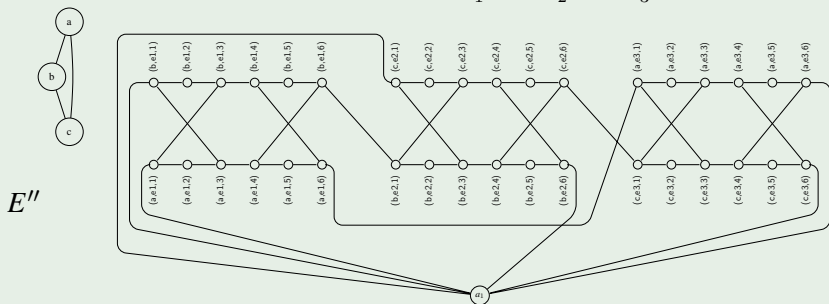
$a_i$



$a_i$

# Konstruktion Beispiel $\notin VC$

$$G = (V, E) = \left( \{a, b, c\}, \underbrace{\{a, b\}}_{e_1}, \underbrace{\{b, c\}}_{e_2}, \underbrace{\{c, a\}}_{e_3} \right) \quad K = 1$$



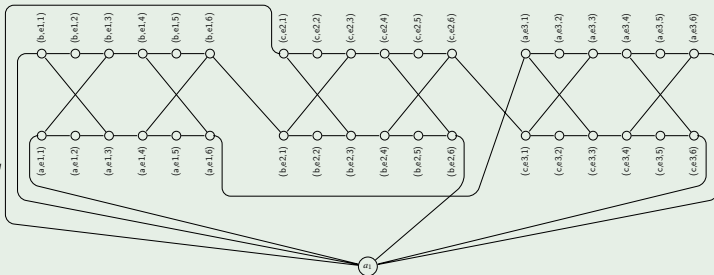


# Konstruktion Beispiel $\notin VC$

$$G = (V, E) = \left( \{a, b, c\}, \underbrace{\{a, b\}}_{e_1}, \underbrace{\{b, c\}}_{e_2}, \underbrace{\{c, a\}}_{e_3} \right) \quad K = 1$$



$G' \notin HC$



## Erklärungsversuch Korrektheit Reduktion

- Konstruktion von  $G'$  aus  $G$  und  $K$  in logarithmischem Platz
- Klarmachen, dass Reduktion korrekt ist

## Erklärungsversuch Korrektheit Reduktion

$$(G, K) \in \text{VERTEX COVER} \iff G' \in \text{HAMILTONIAN CYCLE}$$

# Erklärungsversuch Korrektheit Reduktion

$$(G, K) \in \text{VERTEX COVER} \iff G' \in \text{HAMILTONIAN CYCLE}$$

Existiere ein Hamiltonkreis in  $G'$ .

# Erklärungsversuch Korrektheit Reduktion

$$(G, K) \in \text{VERTEX COVER} \iff G' \in \text{HAMILTONIAN CYCLE}$$

Existiere ein Hamiltonkreis in  $G'$ . CTKs in  $G'$  entsprechen Kanten in  $G$  (bijektiv).

# Erklärungsversuch Korrektheit Reduktion

$$(G, K) \in \text{VERTEX COVER} \iff G' \in \text{HAMILTONIAN CYCLE}$$

Existiere ein Hamiltonkreis in  $G'$ . CTKs in  $G'$  entsprechen Kanten in  $G$  (bijektiv). Betrachte alle Teilpfade, die in einem Selektor-Knoten in  $G'$  beginnen und enden und zwischendurch keinen solchen beinhalten.

# Erklärungsversuch Korrektheit Reduktion

$$(G, K) \in \text{VERTEX COVER} \iff G' \in \text{HAMILTONIAN CYCLE}$$

Existiere ein Hamiltonkreis in  $G'$ . CTKs in  $G'$  entsprechen Kanten in  $G$  (bijektiv). Betrachte alle Teilpfade, die in einem Selektor-Knoten in  $G'$  beginnen und enden und zwischendurch keinen solchen beinhalten. Jeder solche Pfad entspricht bijektiv einem Knoten in  $G$ ; und alle darauf liegenden CTKs entsprechen genau den an diesem Knoten anliegenden Kanten in  $G$ .

# Erklärungsversuch Korrektheit Reduktion

$$(G, K) \in \text{VERTEX COVER} \iff G' \in \text{HAMILTONIAN CYCLE}$$

Existiere ein Hamiltonkreis in  $G'$ . CTKs in  $G'$  entsprechen Kanten in  $G$  (bijektiv). Betrachte alle Teilpfade, die in einem Selektor-Knoten in  $G'$  beginnen und enden und zwischendurch keinen solchen beinhalten. Jeder solche Pfad entspricht bijektiv einem Knoten in  $G$ ; und alle darauf liegenden CTKs entsprechen genau den an diesem Knoten anliegenden Kanten in  $G$ . Da im Hamiltonkreis alle Knoten in  $G'$  enthalten sind (damit auch alle CTKs), sind in  $G$  alle den CTKs entsprechenden Kanten durch die entsprechenden Knoten erreichbar.



# Erklärungsversuch Korrektheit Reduktion

$$(G, K) \in \text{VERTEX COVER} \iff G' \in \text{HAMILTONIAN CYCLE}$$

Existiere ein Hamiltonkreis in  $G'$ . CTKs in  $G'$  entsprechen Kanten in  $G$  (bijektiv). Betrachte alle Teilpfade, die in einem Selektor-Knoten in  $G'$  beginnen und enden und zwischendurch keinen solchen beinhalten. Jeder solche Pfad entspricht bijektiv einem Knoten in  $G$ ; und alle darauf liegenden CTKs entsprechen genau den an diesem Knoten anliegenden Kanten in  $G$ . Da im Hamiltonkreis alle Knoten in  $G'$  enthalten sind (damit auch alle CTKs), sind in  $G$  alle den CTKs entsprechenden Kanten durch die entsprechenden Knoten erreichbar. Also existiert ein Vertex-Cover der Größe maximal  $K$  für  $G$ .

## Erklärungsversuch Korrektheit Reduktion

$$(G, K) \in \text{VERTEX COVER} \implies G' \in \text{HAMILTONIAN CYCLE}$$

## Erklärungsversuch Korrektheit Reduktion

$$(G, K) \in \text{VERTEX COVER} \implies G' \in \text{HAMILTONIAN CYCLE}$$

Sei  $V^* \subseteq V$  ein Vertex-Cover für  $G$  mit  $|V^*| \leq K$ .

# Erklärungsversuch Korrektheit Reduktion

$$(G, K) \in \text{VERTEX COVER} \implies G' \in \text{HAMILTONIAN CYCLE}$$

Sei  $V^* \subseteq V$  ein Vertex-Cover für  $G$  mit  $|V^*| \leq K$ . Sei o.B.d.A.  $|V^*| = K$  mit  $V^* = \{v_1, v_2, \dots, v_K\}$  (im Zweifel minimales Cover mit weiteren Knoten auffüllen).

## Erklärungsversuch Korrektheit Reduktion

Die folgenden Kanten bilden einen Hamiltonkreis:

## Erklärungsversuch Korrektheit Reduktion

Die folgenden Kanten bilden einen Hamiltonkreis:

- $\forall e = \{u, v\} \in E$  die entsprechenden Kanten innerhalb CTKs; je nachdem, ob  $\{u, v\} \cap V^*$  gleich  $\{u\}$ ,  $\{u, v\}$  oder  $\{v\}$  ist (ein Fall trifft immer zu, da  $V^*$  Vertex-Cover ist)

# Erklärungsversuch Korrektheit Reduktion

Die folgenden Kanten bilden einen Hamiltonkreis:

- $\forall e = \{u, v\} \in E$  die entsprechenden Kanten innerhalb CTKs; je nachdem, ob  $\{u, v\} \cap V^*$  gleich  $\{u\}$ ,  $\{u, v\}$  oder  $\{v\}$  ist (ein Fall trifft immer zu, da  $V^*$  Vertex-Cover ist)
- Verbindungen zwischen den CTKs:  $\forall 1 \leq i \leq K : E'_{v_i}$

# Erklärungsversuch Korrektheit Reduktion

Die folgenden Kanten bilden einen Hamiltonkreis:

- $\forall e = \{u, v\} \in E$  die entsprechenden Kanten innerhalb CTKs; je nachdem, ob  $\{u, v\} \cap V^*$  gleich  $\{u\}$ ,  $\{u, v\}$  oder  $\{v\}$  ist (ein Fall trifft immer zu, da  $V^*$  Vertex-Cover ist)
- Verbindungen zwischen den CTKs:  $\forall 1 \leq i \leq K : E'_{v_i}$
- Verbindungen zw. Selektor-Knoten und Beginn CTK-Ketten:

$$\forall 1 \leq i \leq K : \{a_i, (v_i, e_{v_i[1]}, 1)\}$$



# Erklärungsversuch Korrektheit Reduktion

Die folgenden Kanten bilden einen Hamiltonkreis:

- $\forall e = \{u, v\} \in E$  die entsprechenden Kanten innerhalb CTKs; je nachdem, ob  $\{u, v\} \cap V^*$  gleich  $\{u\}$ ,  $\{u, v\}$  oder  $\{v\}$  ist (ein Fall trifft immer zu, da  $V^*$  Vertex-Cover ist)
- Verbindungen zwischen den CTKs:  $\forall 1 \leq i \leq K : E'_{v_i}$
- Verbindungen zw. Selektor-Knoten und Beginn CTK-Ketten:

$$\forall 1 \leq i \leq K : \{a_i, (v_i, e_{v_i[1]}, 1)\}$$

- Verbindungen zw. Selektor-Knoten und Ende CTK-Ketten:

$$\begin{aligned} \forall 1 \leq i < K : \{a_{i+1}, (v_i, e_{v_i[\deg(v_i)]}, 6)\} \\ \{a_1, (v_K, e_{v_K[\deg(v_K)]}, 6)\} \end{aligned}$$

# Varianten

- HAMILTONIAN PATH:  
wie HAMILTONIAN CYCLE, nur ohne Bedingung  $\{v_n, v_1\} \in E$
- HAMILTONIAN PATH BETWEEN TWO POINTS:  
wie HAMILTONIAN PATH, nur expliziter Start- und Endknoten

⇒ alle NP-vollständig

# LONGEST PATH

## LONGEST PATH – Berechnungsvariante

**Eingabe:** Ein Graph  $G = (V, E)$  und  $K \in \mathbb{N}_+, K \leq |V|$ .

**Ausgabe:** Enthält  $G$  einen Pfad ohne Knotenwiederholung mit mindestens  $K$  Kanten?

Beweisidee: Reduktion von HAMILTONIAN PATH mit:

$$\begin{aligned} (V, E) &\in \text{HAMILTONIAN PATH} \\ &\iff \\ ((V, E), |V| - 1) &\in \text{LONGEST PATH} \end{aligned}$$

# LONGEST PATH

## LONGEST PATH – Berechnungsvariante

**Eingabe:** Ein Graph  $G = (V, E)$  und  $K \in \mathbb{N}_+, K \leq |V|$ .

**Ausgabe:** Enthält  $G$  einen Pfad ohne Knotenwiederholung mit mindestens  $K$  Kanten?

Beweisidee: Reduktion von HAMILTONIAN PATH mit:

$$\begin{aligned} (V, E) &\in \text{HAMILTONIAN PATH} \\ &\iff \\ ((V, E), |V| - 1) &\in \text{LONGEST PATH} \end{aligned}$$

## LONGEST PATH – Optimierungsvariante

**Eingabe:** Ein Graph  $G = (V, E)$ .

**Ausgabe:** Längster Pfad ohne Knotenwiederholung in  $G$ .

# Zusammenfassung

- HAMILTONIAN CYCLE ist NP-vollständig
- Reduktion von VERTEX COVER
- Varianten und verwandte Probleme